

國鐵・構造物設計事務所・基礎工構造
正会員 福島弘文

§1. まえがき

従来のくい基礎の設計においては、くいの鉛直反力の計算にくい頭モーメント(以下、 M_0)によって生じる鉛直反力(以下、 ΔN)を考慮したもののが多かった。

くい頭とフーチングをビンジ結合と考えることのできる構造にする場合、 M_0 は生じないのでこの問題はないが、近頃ではくい頭とフーチングを剛結にするのを原則としているので、 M_0 は必ず生じることになり、それがくい反力に影響する。この M_0 は、構造工からすれば、くい一本当たりの水平力が大きい場合や著しい非対称ランゲンの場合に大きくなる。また、くいの剛性 E_f の面からは、 $M_0 = H/3f$ で明らかのように f が小さい方が M_0 は大きくなる。したがって、 f が小さく、 f が大きいほど M_0 は大きくなる。また、 ΔN の大きさは、 M_0 の大きさらず、フーチングの剛性(以下、 EIf)、くい間隔、くいに対する鉛直地盤係数(以下、 k_f ($t/m^2/cm$))などに相関性をもつていて、

国鉄において49年に制定された建築物設計標準(基礎構造物)(以下、基礎標準)では、 ΔN を考慮するように定められている。算出法としては、一般的には、

- 1) フーチングとくいを一体構造とし、多節点バネ系で求めよ。(本稿では、以下A法と称す)
- 2) フーチングをぱりと考えよ。(同様に、B法と称す)
- 3) フーチングを剛体と考えよ。(同様に、C法と称す)

の3種があると考えられる。

以下、本稿では、表-1に示す、くい基礎の各要素が変化した場合に、くい頭変位(以下、 α_y)、 M_{0i} 、 ΔN_i がどのように変化するかを調べ、くい基礎に水平力が作用した場合の特性を明らかにし、さらに、上記のA、BおよびC法により求めた ΔN の値を比較し、今後の ΔN を算出する場合の適切な計算法とその適用区分を明らかにして、今後のくい基礎の設計資料としようとするものである。

§2. 用いたモデルとデータ

2-1 用いたモデル

用いたモデルは、図-1に示すくい基礎である。

このモデルは、本稿を設計資料として使用する場合は、剛比のようなどもって適用されると思われるが、代表的は、例えば橋脚とか高架橋などのようなものを例にとらず、一般的な構造とし、適用範囲を広くなるようにしたものである。

2-2 用いたデータ

表-1のようすをデータヒート、①列のものを基本型とする。これは構造物として一般的であろうと思われるものである。

この基本型を基本として、①、②、③、④の諸々を変化させて、 α_y 、 M_{0i} 、 ΔN_i への影響を調べる。

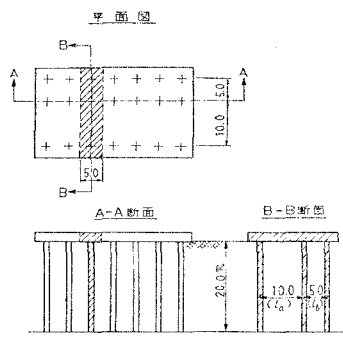


図-1 用いたモデル

表-1

	単位	①	②	③	④	⑤
① フーチング 厚さ	m	0.2	1.0	2.0	4.0	20.0
	I_0	2.56×10^{-4}	3.21	2.56×10^{-4}	2.05×10^5	2.56×10^4
② k_s	kg/cm^3	0.1	0.5	1.0	2.0	10.0
③ k_f	$t/m^2/cm$	50	250	500	1000	5000
④ I_0/I_a		$10.0/10.0$	$7.5/10.0$	$5.0/10.0$	$2.5/10.0$	$1.0/10.0$

ここに、 $A_0 = \frac{EI_f}{EI_p}$
 I_f : フーチングの断面二次モーメント
 I_p : くいの
 I_a : 図-1 の B-B 断面面積

§3. 各種算出法

3-1 A法——多節点バネ系による方法

この解法は、図-1を解く場合、図-1のようないくつか多節点バネ系のモデルに置換えて求めめる方法である。

このモデル化およびその解法についての説明や計算精度を上げる方法などについては、本稿の目的とするところではないので、ここでは説明を省略するが、この解法により求めた値は、厳密解に近いものである。

3-2 B法——フーチングをはりと見えた場合

この解法は、図-1を解く場合、まず、くいとフーチングの節点において、回転に対するくいの剛性が、フーチングの回転に対する剛性に比べて著しく小さくして無視できることとして、図-3のように、くい頭部の回転角: θ は 0 として Chang の式を用いて M_0 を求めめる。ここで、図-4のように、 M_0 に応じて仮想ビンジ点、すなわち、

$$h = \frac{3M_0}{H} \quad \text{または} \quad \frac{H/3}{\beta} = \frac{H}{3} h + \gamma h = \frac{1}{2\beta}$$

を想定する。このように見えたと、 H により M_0 が生じ、この M_0 によって ΔN が生じることがよく分る。

さて次に、図-4において、 ΔN を求めるために、くいの曲げ剛性がフーチングの曲げ剛性に比べて無視できることとする。くい頭部弹性支承とした連続ばかりを差えることができる。さらにこの連続ばかりにおいて、くい先端とくい周辺の鉛直ばねおよびくい体の弾性量を含めてくい頭での鉛直ばねが、フーチングの曲げ剛性に比べて非常に大きく、支点反力を求めるに際しては、弾性支承の旗下か無視できることとする。結果、図-5のようにくい頭をビンジ支承と見て、 M_0 を支点に外力として作用させ、支点反力を求めるために置換えられる。

図-5における支点反力は、 $M_A = M_B = M_C = M_0$ であるとも考へると。

$$\left. \begin{aligned} \Delta N_A &= -1.5 M_0 / l_a \\ \Delta N_C &= 1.5 M_0 / l_b \\ \Delta N_B &= 1.5 M_0 \left(\frac{1}{l_a} - \frac{1}{l_b} \right) \end{aligned} \right\} \quad (3-1)$$

である。

3-3 C法——フーチングを剛体と見えた場合

図-1のモデルにおいて、 M_0 を求めることは、B法と同様である。図-4においてフーチングは剛体に近くくいの曲げ剛性に対して著しく剛性が大きく、くいの曲げ剛性が無視できることとする。図-6のように、くい頭部弾性支承とするモデルに置換えられる。

図-6における ΔN は、通常の剛体フーチングの時のくい反力を求める式と同じ。

$$\Delta N_i = \frac{\sum M_e l_i}{I_y} \quad (3-2)$$

$$\text{ここで}, \quad \Delta N_i : \Delta N_A, \Delta N_B, \Delta N_C, \quad \sum M_e = M_A + M_B + M_C = 3M_0$$

$$I_y : <\text{くい群のY-Yに垂直なモーメント}(Y-Yはくい群の抵抗中心)$$

$$l_i : Y-Yより各くいまでの距離$$

である。

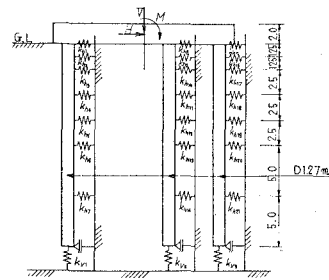


図-2 多節点バネ系モデル

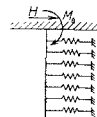


図-3

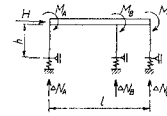


図-4

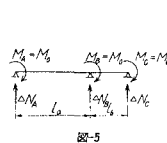


図-5

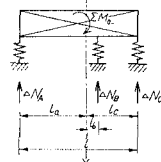


図-6

5.4. 基本モデルによる諸元の変化の影響

基本型を中心として、 α_y , k_h , k_v , δ/δ_0 が変化した場合の、 ΔN , M_0 , ΔN_A の変化を考察した。これは、後で考察する近似解の比較検討においては、処理上、構造の一端に着目して行なわざるを得ないので、構造の各点における諸元の違いを見るものである。

紙面の都合上、 k_h についてのみ整理したものと記すと図-7のようになる。 k_h が $2.0 \sim 2.0 \times 10^4 \text{ t/m}^2/\text{cm}$ と選ばざるを以て、 α_y , M_0 , ΔN とも変化せざることが分かる。

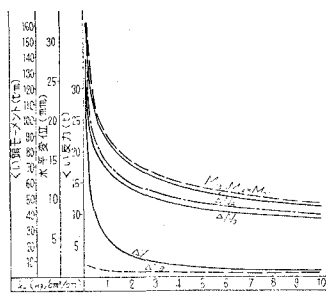


図-7 k_h と ΔN_A の関係 (ただし、 ΔN_A は ΔN)

5.5. A法とC法で求めた ΔN_C の比較

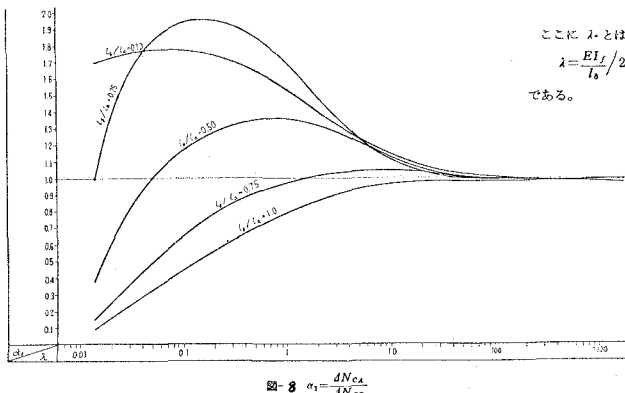
ここでは、図-4に示す ΔN_C に注目して、諸元が変化した場合に、A法とC法がいかなる関係にあるかをみた。この目的は、A法とC法により求めた ΔN_C の関係が明らかにあれば、複雑な計算であるA法で求めにくても、簡単法であるC法でためて、ある係数を乘じて處理すれば、 ΔN_C が簡単に求まるからである。

各図は、次の二とおりしている。

図-8 δ/δ_0 が変化した場合の ΔN についての A法/C法の関係

図-9 k_h \longrightarrow

図-10 k_v \longrightarrow



ここに λ とは、フーチングとくいの剛比であり、

$$\lambda = \frac{EI_I}{I_b} / 2EI_p\beta$$

である。

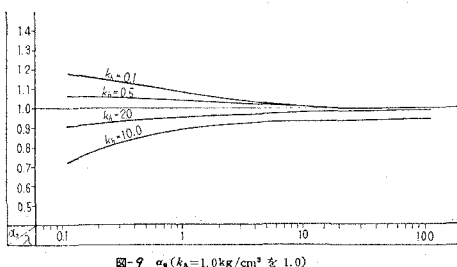


図-9 $\alpha_t (k_h = 1.0 \text{ kg/cm}^2 \text{ を } 1.0)$

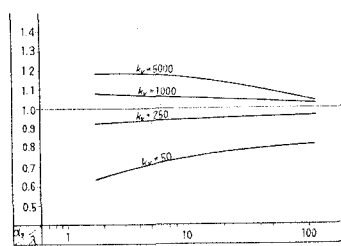


図-10 $\alpha_t (k_v = 500 \text{ t/m}^2/\text{cm} \text{ を } 1.0)$

5.6. B法およびC法で求めた ΔN_C の比較

たとえば、基本型の場合の ΔN_C は、B法によると、

$$\Delta N_{CB} = \frac{3}{2} \cdot \frac{M_0}{e}$$

である。

すな、C法によると。

$$x = \frac{2l+3l}{3} = \frac{5}{3}l, I_x = \left(\frac{5}{3}l\right)^2 + (2l - \frac{5}{3}l)^2 + (3l - \frac{5}{3}l)^2 = \frac{44}{3}l^2$$

$$\therefore \Delta N_{cc} = \frac{\sum M_0}{I_y} y = \frac{3M_0}{\frac{44}{3}l^2} \times \frac{4}{3}l = \frac{6}{7} \cdot \frac{M_0}{l}$$

よって、B法とC法のXを $\alpha_a = \Delta N_{cc}/\Delta N_{cb}$ で表せり。

$$\alpha_a = \frac{\frac{6}{7} \cdot \frac{M_0}{l}}{\frac{2}{3} \cdot \frac{M_0}{l}} = \frac{4}{7} = 0.571$$

である。スパンを変えて、みるための図-11である。

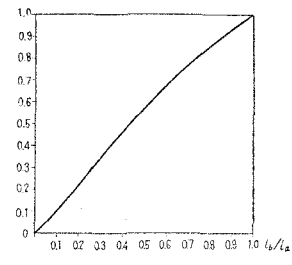


図-11 α_a (C法/B法)

§7 適用方法

以上の算出結果をもとに、実際に ΔN を算出する場合の簡易法であるB法、又は、C法の使用例を示す。図-12の場合の ΔN_{DE} がみる。

諸元 途中より 高さ = 2.0m, 幅 = 1.0m, $I_y = 0.667 \text{ m}^4$

$$\text{LW} \quad D = 1.27 \text{ m}, I_p = 0.125 \text{ m}^4$$

$$f_h, f_v \quad f_h = 1.0 \text{ kg/cm}^2/\text{cm}, f_v = 500 \text{ t/m}^2/\text{cm}$$

$$A \quad \beta = 0.183$$

$$M_0 = \frac{H}{2\beta} = \frac{200/4}{2 \times 0.183} = 137.8 \text{ m/mm}$$

LK法より、C法では $y = 8.75, I_y = 218.1 \text{ m}^4$ $\therefore \Delta N_{DC}' = \frac{\sum M_0}{I_y} y = \frac{4 \times 137.8}{218.1} \times 8.75 = 22.0^t$
すな、 $\lambda = \frac{I_f}{I_c} \times \frac{1}{2 \cdot I_p \beta} = \frac{0.667}{5.0} \times \frac{1}{2 \times 0.125 \times 0.183} = 2.92$

の時、これは、

$$\text{図-8} \text{ により}, l_h/l_a = 5.0/15.0 = 0.33 \text{ では}, \alpha_1 = 1.05$$

$$\text{図-9} \text{ により}, f_h = 1.0 \text{ kg/cm}^2/\text{cm} \text{ では}, \alpha_2 = 1.0$$

$$\text{図-10} \text{ により}, f_v = 500 \text{ t/m}^2/\text{cm} \text{ では}, \alpha_3 = 1.0$$

である。 ΔN_{DE} は、

$$\Delta N_{DC} = \Delta N_{DC}' \times \alpha_1 \times \alpha_2 \times \alpha_3 = 22.0 \times 1.05 \times 1.0 \times 1.0 = 23.7^t$$

一方、A法によれば $\Delta N_{BA} = 21.0^t$ である。

すな、B法で算出すれば、 $\Delta N_{DB} = 20.6^t$ となり、かなり誤差が大きくなる。

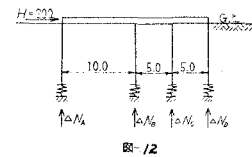


図-12

§8. 結論

以上、A、B、C法について考察し、適用例も示したが、結論として、次のことがいえる。

A法は、厳密解に近い計算が複雑であり、かつでも手算に計算するのにかかり。すな、二本柱よく用いられてきた簡易法であるB法は、3本柱の場合は、 $\alpha_1 \sim \alpha_4$ によって補正するだけで計算よく求められるが、4本以上になると、 l_h/l_a の算定が難しく、 α_4 の補正誤差が大きくなり、精度が悪くなる。

以上のように比較してC法は、 $\alpha_1 \sim \alpha_3$ の補正を省くことにより、比較的簡単にA法に近い精度の高いものが求まる。この場合も、 l_h/l_a を求めにあたって、2の算定に多少問題があるが、これは本来、主として水平力によって生じる二次的なものであり、この程度の精度であれば、通常の構造計算には十分通用可能と思われる。